

# Standardní model

Standardní model tedy shrnuje současné poznatky částicové fyziky.

1, říká, z jakých elementárních částic (nejmenších a nedělitelných stavebních kamenů z dnešního pohledu) se svět skládá.

2, popisuje a vysvětuje, jak elementární částice spolu interagují a speciálně jak drží atomy a jádra pohromadě. Tento popis a vysvětlení poskytuje kvantová teorie, ke které vedlo více než tři desetiletí teoretického a experimentálního úsilí.

Dnešní standardní model zahrnuje **teorii silných interakcí** (kvantová chromodynamika neboli QCD, odpovědná např. za stavbu jader) a **sjednocenou teorii slabých a elektromagnetických interakcí** (tzv. elektroslabé interakce, odpovědné jak za strukturu atomu a makroskopické elektromagnetické jevy, např. např. za rozpady některých nestabilních částic v mikrovětě).

Stranou stojí gravitace. Je sice jednou ze základních interakcí a je naprostě podstatná pro makrosvět, ale uspokojivou kvantovou teorii gravitace dosud nemáme.

# Atom a jeho části

Atomisté - představa o atomech jako o nedělitelných stavebních kamenech hmoty.

## Struktura atomu

Objev jádra E. Rutherfordem v roce 1911  
(Jádro by mělo být nakreslené daleko menší, s průměrem menším než 0,0001 průměru atomu )

Objev elektronu (Thomson 1897) - Thomsonův model atomu (1903).

Kvark  
velikost  $< 10^{-19}$  m

Jádro  
velikost  $\approx 10^{-14}$  m

Atom  
velikost  $\approx 10^{-10}$  m

Elektron  
velikost  $< 10^{-18}$  m

Neutron a proton  
velikost  $\approx 10^{-15}$  m

Objev protonu (E. Rutherford 1916) a neutronu (J. Chadwick 1932).

Obrázek neodpovídá skutečným velikostním poměrům.  
Kdyby byla velikost protonů a neutronů na obrázku 10 cm,  
byly by kvarky a elektrony menší než 0,1 mm  
a celý atom by měřil 10 km.

Objev kvarků 1964.

# Kvarky

V roce 1964 vyslovili Gell-Mann a Zweig novou revoluční myšlenku, že téměř všechny částice jsou složeny z malého počtu druhů ještě menších objektů nazvaných kvarky, ty musí mít elektrické náboje  $+2/3$  a  $-1/3$  náboje protonu.

Pro takovéto zlomkové náboje nebyl tehdy znám žádný důkaz.

Kvarky		spin = 1/2	
Vůně	Přibližná hmotnost GeV/c <sup>2</sup>	Elektrický náboj	
u up	0.003	2/3	
d down	0.006	-1/3	
c charm	1.3	2/3	
s strange	0.1	-1/3	
t top	175	2/3	
b bottom	4.3	-1/3	

Teprve na začátku sedmdesátých let ukázaly experimenty na urychlovačích, že kvarky s předpokládanými vlastnostmi skutečně existují, avšak zůstávají uvězněny uvnitř částic s celočíselným nábojem.

Důvěrně známý svět kolem nás je složen téměř jen z kvarků *u* a *d*.

Existují i další čtyři kvarky - *s*, *c*, *b* a *t*. Ty mají větší hmotnost, jsou nestabilní a rodí se jen na urychlovačích nebo ve srážkách působených kosmickým zářením.

# Leptony

Vedle kvarků existuje další třída šesti základních částic nazývaných **leptony**. Jejich nejznámějším příslušníkem je **elektron**. Další dva nabité leptony, **mion ( $\mu$ )** a **lepton tau ( $\tau$ )**, se liší od elektronu pouze tím, že mají mnohem větší hmotnost a jsou nestabilní. Další tři leptony jsou těžko polapitelná **neutrina**, která nemají elektrický náboj a mají velmi malou hmotnost.

**Elektron** je první objevená elementární částici vůbec. Je stabilní, nerozpadá se.

**Mion** se chová velmi podobně jako elektron. Jeho hmotnost je  $207m_e$ . Doba života mionu je přibližně  $2 \times 10^{-6}$  s, potom se rozpadá na elektron a neutrino:

$$\mu^- \rightarrow e^- + \bar{\nu}_e + \nu_\mu.$$

Byl objeven v kosmickém záření za pomoci mlžné komory C. Andersonem v roce 1936.

Leptony		spin = 1/2	
Vůně	Hmotnost GeV/c <sup>2</sup>	Elektrický náboj	
$\nu_e$ elektronové neutrino	<10 <sup>-8</sup>	0	
e elektron	0.000511	-1	
$\nu_\mu$ mionové neutrino	<0.0002	0	
$\mu$ mion	0.106	-1	
$\nu_\tau$ tauonové neutrino	<0.02	0	
$\tau$ tauon	1.777	-1	

Všude tam, kde při různých slabých rozpadech částic vznikne elektron, vzniká i jeho neutrino (přesněji antineutrino).

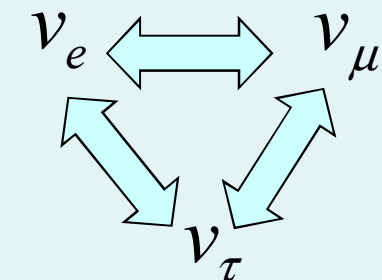
Podobně jako elektronové neutrino doprovází při slabých rozpadech elektron, doprovází mionové neutrino mion a tauonové neutrino tauon. Tento fakt je příkladem zachování tzv. **leptonového čísla**.

**Tauon** je 3 484-krát těžší než elektron. Byl objeven v roce 1977 M. Perlem. Jde o nestabilní částici s dobou života  $3 \times 10^{-13}$  s. Rozpadá se na své lehčí dvojníky (elektron nebo mion) a neutrina.

## Stránky pro experty! Můžete je přeskočit, ale co to zkusit !

Neutrino předpověděl W. Pauli v roce 1930, aby vysvětlil  $\beta$  rozpadu neutronu  $n \rightarrow p + e^- + \bar{\nu}_e$  a zvláště to, že elektron vylétal s různými energiami. Raději předpověděl novou částici, než aby připustil nezachování energie a hybnosti. Existence neutrina byla potvrzena až v roce 1956 F. Reinesem a L. Cowanem pomocí inverzního rozpadu  $\beta$ :  $p + \bar{\nu}_e \rightarrow n + e^+$ , intenzívní tok antineutrín přicházel z jaderného reaktoru. Reines a Cowan pozorovali scintilace způsobené  $\gamma$  kvanty z anihilace pozitronu a navíc další foton doprovázející zachycení neutronu kadmiem. Terčem i detektorem bylo 5400 litrů roztoku vody a chloridu kademnatého.

Dlouho se předpokládalo, že neutrino mají nulovou hmotnost. Nesnadná měření udávala hranice, pod kterou hmotnosti jednotlivých neutrín leží. Další způsob, jak zjistit hmotnost neutrín, je sledovat jejich identitu, respektive změny jednoho typu neutrín na jiný (v tomto kontextu se mluví o **oscilaci neutrín**). Z kvantové teorie vyplývá, že mají-li neutrina různé hmotnosti, mohou se v letu  $\nu_e$ ,  $\nu_\mu$ ,  $\nu_\tau$  navzájem měnit jedno v druhé.



Oscilace neutrín byla zjištěna ve velkých podzemních experimentech, které mimo jiné mohou detekovat neutrino produkovaná při průletu kosmického záření atmosférou. Tato neutrino proniknou celou Zemí a proto je detektory „vidí“ přilétat ze všech směrů. Výsledky ukazují, že neutrino  $\nu_\mu$  vzniklá v atmosféře poblíž místa experimentu přicházejí s očekávanou frekvencí, zatímco neutrín přilétajících z velké vzdálenosti je méně. Zdá se, že tato neutrino mizí (jinak řečeno, oscilují na jiné typy neutrín).

Ve vesmíru je velké množství neutrín pocházejících jednak z jaderných reakcí ve hvězdách, jednak z procesů probíhajících při výbuších supernov. Další neutrino vznikají při interakcích čistic kosmického záření v atmosféře i při dalších procesech. Nejbližším vydatným zdrojem neutrín je Slunce:

# Fermiony

Kvarky a leptony tvoří tři rodiny, vždy po dvou kvarcích a dvou leptonech. Leptony mají menší hmotnost než odpovídající kvarky. Obyčejná hmota je složená jen z kvarků  $u$  a  $d$  a elektronů, členů první rodiny. Fermiony jsou tedy **stavební kameny hmoty**.

Fermiony jsou částice se spinem  $1/2, 3/2, \dots$

**Spin je vnitřní moment hybnosti částice.** Udává se v násobcích  $\hbar$ , což je kvantová jednotka momentu hybnosti, kde  $\hbar = h/2\pi = 6,58 \times 10^{-25} \text{ GeV s} = 1,05 \times 10^{-34} \text{ Js}$ .

Leptony			spin = 1/2
Vůně	Hmotnost $\text{GeV}/c^2$	Elektrický náboj	
$\nu_e$ elektronové neutrino	$<10^{-8}$	0	
e elektron	0.000511	-1	
$\nu_\mu$ mionové neutrino	$<0.0002$	0	
$\mu$ mion	0.106	-1	
$\nu_\tau$ tauonové neutrino	$<0.02$	0	
$\tau$ tauon	1.777	-1	

Kvarky			spin = 1/2
Vůně	Přibližná hmotnost $\text{GeV}/c^2$	Elektrický náboj	
u up	0.003	2/3	
d down	0.006	-1/3	
c charm	1.3	2/3	
s strange	0.1	-1/3	
t top	175	2/3	
b bottom	4.3	-1/3	

Elektrický náboj se vyjadřuje v násobcích náboje protonu. V soustavě SI je elektrický náboj protonu  $1,60 \times 10^{-19} \text{ C}$ .

# Bosony

Kvarky a leptony jsou základní stavební kameny hmoty. Jaké síly je však drží pohromadě? Všechny síly jsou projevem interakcí částic. Existují čtyři základní typy interakcí: gravitační, elektromagnetická, silná a slabá. Síly jsou důsledkem výměny dalších fundamentálních částic nazývaných **bosony**. Pro každý typ síly existuje jeden nebo více „nosičů“, které zprostředkovávají interakci. Dobře známý foton je například boson, který zprostředkovává elektromagnetickou sílu.

Nosiče sil

Bosony jsou částice se spinem 0, 1, 2, ...

Sjednocená elektroslabá spin=1		
Název	Hmotnost $\text{GeV}/c^2$	Elektrický náboj
$\gamma$ foton	0	0
$W^-$	80.4	-1
$W^+$	80.4	+1
$Z^0$	91.188	0

Silná (barevná) spin=1		
Název	Hmotnost $\text{GeV}/c^2$	Elektrický náboj
$g$ gluon	0	0

Na konci šedesátých let se podařilo vytvořit teorii sjednocující elektromagnetické a slabé interakce, odpovídající např. za radioaktivitu beta - teorii **elektroslabých interakcí**.

Každý kvark nese jednu ze tří hodnot „silného náboje“, kterému se také říká „barevný náboj“. Tyto barevné náboje nemají nic společného s barvami ve viditelném světle. **Gluony mají osm možných hodnot barevného náboje**. Stejně jako elektricky nabité částice interagují tak, že si vyměňují fotony, v silných interakcích interagují barevně nabité částice prostřednictvím výměny gluonů. Leptony, fotony, W a Z bosony silně neinteragují a nemají tedy žádný barevný náboj.

# Síly a interakce

Zodpovědná za většinu rozpadů v přírodě.

Typická pro atomy, molekuly, strukturu pevných látek, je také schopna produkovat nové částice a způsobit rozpad některých částic.

Typická pro produkci nových částic nebo pro velmi rychlé rozpady, jádro drží pohromadě díky silné interakci.

Vlastnosti	Interakce					Sílná	Zbytková
		Gravitační	Slabá (Elektroslabá)	Elektromagnetická	Základní		
„Náboj“, na který působí:	hmota	vůně	elektrický náboj	barevný náboj	viz. odstavec o zbytkové silné interakci		
Částice, které ji cítí:	všechny	kvarky, leptony	elektricky nabité	kvarky, gluony	hadrony		
Zprostředkující částice:	graviton (dosud neobjeven)	$W^+$ $W^-$ $Z^0$	$\gamma$	gluony	mesony		
Síla v poměru k elektromagnetické mezi dvěma u kvarky ve vzdálenosti $10^{-18}$ m ve vzdálenosti $3 \times 10^{-17}$ m ... a mezi dvěma protony v jádře	$10^{-41}$ $10^{-41}$ $10^{-36}$	0.8 $10^{-4}$ $10^{-7}$	1 1 1	25 60 netýká se hadronů	netýká se kvarků 20		

Působí mezi všemi částicemi, ale v mikrovětě je zanedbatelná.

Působí mezi všemi kvarky a leptony, ale pouze na velmi krátkých vzdálenostech, menších než  $10^{-18}$  m.

Působí jen mezi nabitémi částicemi. Zprostředkující částicí je nehmotný foton a proto mají elektromagnetické síly nekonečný dosah.

Při popisu vzájemného působení objektů v makrovětě se osvědčil pojem síly. V mikrovětě častěji používáme univerzálnější pojem **interakce**, abychom mohli mluvit o celé plejádě procesů, které ve srážkách částic nastávají.

Sílná vazba barevně neutrálních protonů a neutronů tvořících jádro je způsobena **zbytkovou silnou interakcí** mezi jejich barevnými složkami. Je to podobné jako zbytková elektromagnetická interakce, která váže elektricky neutrální atomy do molekul. Lze ji také chápat jako výměnu mezonů mezi hadrony.

# Kvarky uvězněné v mezonech a baryonech

Kvarky a gluony není možné od sebe odtrhnout, jsou uvězněny v barevně neutrálních částicích nazývaných hadrony. Toto uvěznění (vazba) je důsledkem mnohonásobné výměny gluonů mezi barevně nabitémi kvarky i gluony samými. Když se barevně nabité částice (kvarky, gluony) pokusíme oddělit, energie gluonového pole mezi nimi roste. Tato energie se nakonec přemění na další pár kvark-antikvark. Kvarky a antikvarky nakonec vytvoří hadrony, které pozorujeme. V přírodě existují dva typy hadronů: **mezony  $q\bar{q}$**  a **baryony  $qqq$** .

## Fermiony

### Baryony $qqq$ a antibaryony $\bar{q}\bar{q}\bar{q}$

Baryony jsou hadrony s poločíselným spinem.  
Existuje okolo 120 druhů baryonů.

Symbol	Název	Kvarkové složení	Elektrický náboj	Hmotnost $GeV/c^2$	Spin
p	proton	uud	1	0.938	1/2
$\bar{p}$	anti-proton	$\bar{u}\bar{u}\bar{d}$	-1	0.938	1/2
n	neutron	udd	0	0.940	1/2
$\Lambda$	lambda	uds	0	1.116	1/2
$\Omega^-$	omega	sss	-1	1.672	3/2

## Bosony

### Mezony $q\bar{q}$

Mezony jsou hadrony s celočíselným spinem (bosony).  
Existuje okolo 140 druhů mezonů.

Symbol	Název	Kvarkové složení	Elektrický náboj	Hmotnost $GeV/c^2$	Spin
$\pi^+$	pion	$u\bar{d}$	+1	0.140	0
$K^-$	kaon	$s\bar{u}$	-1	0.494	0
$\rho^+$	ro	$u\bar{d}$	+1	0.776	1
$B^0$	B-nula	$d\bar{b}$	0	5.279	0
$\eta_c$	eta-c	$c\bar{c}$	0	2.980	0

Ke každému typu **částice** existuje odpovídající typ **antičástice** (označená pruhem nad příslušným symbolem dané částice). Částice a antičástice mají **stejnou hmotnost a spin**, ale **opačné náboje**. Některé elektricky neutrální bosony (např.  $Z^0$ ,  $\gamma$  a  $\eta_c=c\bar{c}$ , avšak nikoli  $K^0=d\bar{s}$ ) jsou samy sobě antičásticí.

# Stránky pro experty! Můžete je přeskočit, ale co to zkusit!

Baryon Summary Table

This short table gives the name, the quantum numbers (where known), and the status of baryons in the Review. Only the baryons with 3- or 4-star status are included in the main Baryon Summary Table. Due to insufficient data or uncertain interpretation, the other entries in the short table are not established as baryons. The names with masses are of baryons that decay strongly. For  $N$ ,  $\Delta$ , and  $\Xi$  resonances, the partial wave is indicated by the symbol  $L_{J,I,J}$ , where  $L$  is the orbital angular momentum ( $S$ ,  $P$ ,  $D$ , ...),  $I$  is the isospin, and  $J$  is the total angular momentum. For  $\Lambda$  and  $\Sigma$  resonances, the symbol is  $L_I,J$ .

$p$	$P_{11}$	****	$\Delta(1232)$	$P_{33}$	****	$\Lambda$	$P_{01}$	****	$\Sigma^+$	$P_{11}$	****	$\Xi^0$	$P_{11}$	****
$n$	$P_{11}$	****	$\Delta(1600)$	$P_{33}$	***	$\Lambda(1405)$	$S_{01}$	****	$\Sigma^0$	$P_{11}$	****	$\Xi^-$	$P_{11}$	****
$N(1440)$	$P_{11}$	****	$\Delta(1620)$	$S_{31}$	****	$\Lambda(1520)$	$D_{03}$	****	$\Sigma^-$	$P_{11}$	****	$\Xi(1530)$	$P_{13}$	****
$N(1520)$	$D_{13}$	****	$\Delta(1700)$	$D_{33}$	***	$\Lambda(1600)$	$P_{01}$	***	$\Sigma(1385)$	$P_{13}$	****	$\Xi(1620)$	*	
$N(1535)$	$S_{11}$	****	$\Delta(1750)$	$P_{31}$	*	$\Lambda(1670)$	$S_{01}$	****	$\Sigma(1480)$	*		$\Xi(1690)$	***	
$N(1650)$	$S_{11}$	****	$\Delta(1900)$	$D_{31}$	**	$\Lambda(1690)$	$D_{03}$	****	$\Sigma(1560)$	**		$\Xi(1820)$	$D_{13}$	***
$N(1675)$	$D_{15}$	****	$\Delta(1905)$	$F_{25}$	****	$\Lambda(1800)$	$S_{01}$	***	$\Sigma(1580)$	$D_{13}$	**	$\Xi(1950)$		***
$N(1680)$	$F_{15}$	****	$\Delta(1910)$	$P_{31}$	****	$\Lambda(1810)$	$P_{01}$	***	$\Sigma(1620)$	$S_{11}$	**	$\Xi(2030)$		***
$N(1700)$	$D_{13}$	***	$\Delta(1920)$	$P_{33}$	***	$\Lambda(1820)$	$F_{05}$	****	$\Sigma(1660)$	$P_{11}$	***	$\Xi(2120)$	*	
$N(1710)$	$P_{11}$	***	$\Delta(1930)$	$D_{35}$	***	$\Lambda(1830)$	$D_{05}$	****	$\Sigma(1670)$	$D_{13}$	***	$\Xi(2250)$	**	
$N(1720)$	$P_{13}$	****	$\Delta(1940)$	$D_{33}$	*	$\Lambda(1890)$	$P_{03}$	****	$\Sigma(1690)$	*		$\Xi(2370)$	**	
$N(1900)$	$P_{13}$	**	$\Delta(1950)$	$F_{37}$	****	$\Lambda(2000)$	*		$\Sigma(1750)$	$S_{11}$	***	$\Xi(2500)$	*	
$N(1990)$	$F_{17}$	**	$\Delta(2000)$	$F_{35}$	**	$\Lambda(2020)$	$F_{07}$	*	$\Sigma(1770)$	$P_{11}$	*	$\Xi(2650)$		
$N(2000)$	$F_{15}$	**	$\Delta(2150)$	$S_{31}$	*	$\Lambda(2100)$	$G_{07}$	****	$\Sigma(1775)$	$D_{15}$	***	$\Xi^-(Q^-)$		***
$N(2080)$	$D_{13}$	**	$\Delta(2200)$	$G_{37}$	*	$\Lambda(2110)$	$F_{05}$	***	$\Sigma(1840)$	$P_{13}$	*	$\Xi(2250)^-$		***
$N(2090)$	$S_{11}$	*	$\Delta(2300)$	$H_{39}$	**	$\Lambda(2325)$	$D_{03}$	*	$\Sigma(1880)$	$P_{11}$	*	$\Xi(2380)^-$	**	
$N(2100)$	$P_{11}$	*	$\Delta(2350)$	$D_{35}$	*	$\Lambda(2350)$	$H_{09}$	***	$\Sigma(1915)$	$F_{15}$	****	$\Xi(2470)^-$	**	
$N(2190)$	$G_{17}$	****	$\Delta(2390)$	$F_{37}$	*	$\Lambda(2585)$			$\Sigma(1940)$	$D_{13}$	***			
$N(2200)$	$D_{15}$	**	$\Delta(2400)$	$G_{39}$	**				$\Sigma(2000)$	$S_{11}$	*	$\Lambda_c^+$		****
$N(2220)$	$H_{19}$	****	$\Delta(2420)$	$H_{2,11}$	****				$\Sigma(2030)$	$F_{17}$	****	$\Lambda_c(2593)^+$		***
$N(2250)$	$G_{19}$	****	$\Delta(2750)$	$I_{3,13}$	**				$\Sigma(2070)$	$F_{15}$	*	$\Lambda_c(2625)^+$		***
$N(2600)$	$I_{1,11}$	***	$\Delta(2950)$	$K_{3,15}$	**				$\Sigma(2080)$	$P_{13}$	**	$\Lambda_c(2765)^+$	*	
$N(2700)$	$K_{1,13}$	**							$\Sigma(2100)$	$G_{17}$	*	$\Lambda_c(2880)^+$	**	
			$\Theta(1540)^+$		***				$\Sigma(2250)$		***	$\Sigma_c(2455)$		****
			$\Phi(1860)$		*				$\Sigma(2455)$		**	$\Sigma_c(2520)$		***
									$\Sigma(2620)$		**	$\Xi_c^0$		***
									$\Sigma(3000)$	*		$\Xi_c^0$		***
									$\Sigma(3170)$	*		$\Xi_c^0$		***
												$\Xi_c(2645)$		***
												$\Xi_c(2790)$		***
												$\Xi_c(2815)$		***
												$\Omega_c^0$		***
												$\Xi_{cc}^+$	*	
												$A_b^0$	***	
												$\Xi_b^0, \Xi_b^-$	*	

\*\*\*\* Existence is certain, and properties are at least fairly well explored.

\*\*\* Existence ranges from very likely to certain, but further confirmation is desirable and/or quantum numbers, branching fractions, etc. are not well determined.

\*\* Evidence of existence is only fair.

\* Evidence of existence is poor.

Dosud objevené baryony a mezony.  
Ani tak moc nejde o to, jaké jsou a jaké mají vlastnosti, ale o poznání, že JE JICH MOC na to, abychom je všechny nazývali elementární částice.

Meson Summary Table

See also the table of suggested  $q\bar{q}$  quark-model assignments in the Quark Model section.

• Indicates particles that appear in the preceding Meson Summary Table. We do not regard the other entries as being established.

† Indicates that the value of  $J$  given is preferred, but needs confirmation.

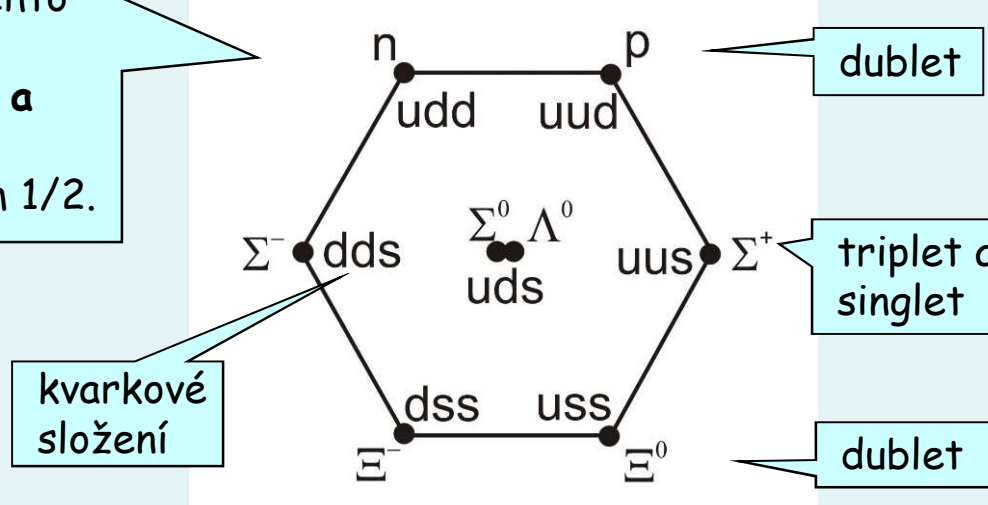
LIGHT UNFLAVORED ( $S = C = B = 0$ )		STRANGE ( $S = \pm 1, C = B = 0$ )		BOTTOM ( $B = \pm 1$ )	
$I^G(J^PC)$	$I^G(J^PC)$	$I^G(J^P)$	$I^G(J^P)$	$I^G(J^PC)$	$I^G(J^PC)$
• $\pi^\pm$	$1^-(0^-)$	$\pi_2(1670)$	$1^-(2-+)$	• $K^\pm$	$1/2(0^-)$
• $\pi^0$	$1^-(0^-+)$	$\phi(1680)$	$0^-(1^-)$	• $K^0$	$1/2(0^-)$
• $\eta$	$0^+(0^-+)$	$\rho_3(1690)$	$1^+(3-)$	• $K_S^0$	$1/2(0^-)$
• $f_0(600)$	$0^+(0^++)$	$\rho_1(1700)$	$1^+(1--)$	• $K_L^0$	$1/2(0^-)$
• $\rho(770)$	$1^+(1--)$	$\omega_2(1700)$	$1^-(2++)$	• $K_0^*(800)$	$1/2(0^+)$
• $\omega(782)$	$0^-(1^-)$	$f_0(1710)$	$0^+(0^+)$	• $K^*(892)$	$1/2(1^-)$
• $\eta'(958)$	$0^+(0^-+)$	$\eta(1760)$	$0^+(0-+)$	• $K_1(1270)$	$1/2(1^+)$
• $f_0(980)$	$0^+(0^++)$	$\pi(1800)$	$1^-(0-+)$	• $K_1(1400)$	$1/2(1^+)$
• $a_0(980)$	$1^-(0^+)$	$f_2(1810)$	$0^+(2++)$	• $K^*(1410)$	$1/2(1^-)$
• $\phi(1020)$	$0^-(1^-)$	$\phi_3(1850)$	$0^-(3-)$	• $K_0^*(1430)$	$1/2(0^+)$
• $b_1(1170)$	$0^-(1^+)$	$\eta_2(1870)$	$0^+(2-+)$	• $K_2^*(1430)$	$1/2(2^+)$
• $b_1(1235)$	$1^+(1^+)$	$\rho(1900)$	$1^+(1--)$	• $K(1460)$	$1/2(0^-)$
• $a_1(1260)$	$1^-(1++)$	$f_2(1910)$	$0^+(2++)$	• $K_2(1580)$	$1/2(2^-)$
• $f_2(1270)$	$0^+(2++)$	$f_2(1950)$	$0^+(2++)$	• $K(1630)$	$1/2(?)$
• $f_1(1285)$	$0^+(1++)$	$\rho_3(1990)$	$1^+(3-)$	• $K_1(1650)$	$1/2(1^+)$
• $\eta(1295)$	$0^+(0^-)$	$f_2(2010)$	$0^+(2++)$	• $K^*(1680)$	$1/2(1^-)$
• $\pi(1300)$	$1^-(0^-)$	$f_0(2020)$	$0^+(0^+)$	• $K_2(1770)$	$1/2(2^-)$
• $\pi_2(1320)$	$1^-(2++)$	$a_4(2040)$	$1^-(4++)$	• $K_2^*(1780)$	$1/2(3^-)$
• $f_0(1370)$	$0^+(0^+)$	$f_4(2050)$	$0^+(4++)$	• $K_2(1820)$	$1/2(2^-)$
• $b_1(1380)$	$?^-(1^-)$	$\pi_2(2100)$	$1^-(2-+)$	• $K(1830)$	$1/2(0^-)$
• $\pi_1(1400)$	$1^-(1-+)$	$f_0(2100)$	$0^+(0^+)$	• $K_0^*(1950)$	$1/2(0^+)$
• $\eta(1405)$	$0^+(0-+)$	$f_2(2150)$	$0^+(2++)$	• $K_2^*(1980)$	$1/2(2^+)$
• $f_1(1420)$	$0^+(1++)$	$\rho(2150)$	$1^+(1--)$	• $K_4^*(2045)$	$1/2(4^+)$
• $\omega(1420)$	$0^-(1^-)$	$f_2(2200)$	$0^+(0^+)$	• $K_2(2250)$	$1/2(2^-)$
• $f_2(1430)$	$0^+(2++)$	$f_2(2220)$	$0^+(2++)$	• $K_3(2320)$	$1/2(3^+)$
• $a_0(1450)$	$1^-(0^+)$	$\eta(2225)$	$0^+(0-+)$	• $K_5^*(2380)$	$1/2(5^-)$
• $\eta(1475)$	$0^+(0-+)$	$\rho_3(2250)$	$1^+(3-)$	• $K_4(2500)$	$1/2(4^-)$
• $f_0(1500)$	$0^+(0^+)$	$f_1(2300)$	$0^+(2++)$	• $K(3100)$	$?^?(?)$
• $f_1(1510)$	$0^+(1++)$	$f_2(2300)$	$0^+(4++)$		
• $f_2'(1525)$	$0^+(2++)$	$\rho_5(2350)$	$1^+(5-)$		
• $f_2(1565)$	$0^+(2++)$	$a_6(2450)$	$1^-(6++)$		
• $b_1(1595)$	$0^-(1^-)$	$f_6(2510)$	$0^+(6++)$		
• $\pi_1(1600)$	$1^-(1-+)$				
• $a_1(1640)$	$1^-(1++)$				
• $f_2(1640)$	$0^+(2++)$				
• $\eta_2(1645)$	$0^+(2-+)$				
• $\omega(1650)$	$0^-(1^-)$				
• $\omega_3(1670)$	$0^-(3-)$				
OTHER LIGHT					
Further States					
CHARMED, STRANGE ( $C = S = \pm 1$ )					
• $D_s^\pm$	$0(0^-)$				
• $D_s^{*\pm}$	$0(?)$				
• $D_{sJ}(2317)^\pm$	$0(0^+)$				
• $D_{sJ}(2460)^\pm$	$0(1^+)$				
• $D_{sJ}(2460)^\pm$	$0(1^+)$				
• $D_{sJ}(2536)^\pm$	$0(1^+)$				
• $D_{sJ}(2573)^\pm$	$0(?)$				
CHARMED, STRANGE ( $C = S = \pm 1$ )					
• $D_s^\pm$	$0(0^-)$				
• $D_s^{*\pm}$	$0(?)$				
• $D_{sJ}(2317)^\pm$	$0(0^+)$				
• $D_{sJ}(2460)^\pm$	$0(1^+)$				
• $D_{sJ}(2460)^\pm$	$0(1^+)$				
• $D_{sJ}(2536)^\pm$	$0(1^+)$				
• $D_{sJ}(2573)^\pm$	$0(?)$				
NON- $q\bar{q}$ CANDIDATES					
NON- $q\bar{q}$ CANDIDATES					

## Stránky pro experty! Můžete je přeskočit, ale co to zkusit!

Postupně bylo objeveno velké množství baryonů a mezonů, viz. tabulky na předchozí straně. Fyzici se snažili v tomto „zvěřinci“ najít nějaký řád, podobně jako například periodickou tabulkou prvků u atomů. Všimli si, že některé částice - například nám dobře známý neutron a proton - s podobnými vlastnostmi (stejný spin, téměř stejné hmotnosti, ale různý náboj) se chovají stejně v silných interakcích.

Vzhledem k této interakci by tedy existovala pouze „jedna“ částice - nukleon. Podobně se chová i trojice pionů  $\pi^-$ ,  $\pi^0$  a  $\pi^+$ . Takovýmto malým rodinám částic se říká multiplety - existují singlety, dublety ( $n$ ,  $p$ ), triplety (piony), ... V roce 1963 se podařilo tyto malé rodiny částic, jejichž hmotnosti se téměř neliší, uspořádat ještě do větších společenství - supermultipletů, ve kterých jsou hmotnosti částic stále velmi blízké. Kromě blízkých hmotností mají částice v těchto společenstvích vždy stejný spin. Uspořádání do těchto společenství lze dát hlubší matematický význam v rámci teorie grup a jejich reprezentací. Grupa, která se zde hodí, je  $SU(3)$ .

Jedním z takovýchto „společenství“ je **baryonový oktet a singlet**. Tvoří ho částice se spinem 1/2.

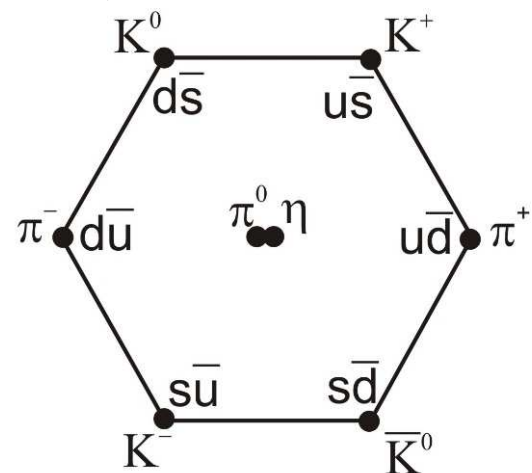


Jednotlivé rodiny se liší podivností\*. Rozdíl hmotností mezi jednotlivými rodinami je maximálně 35%.

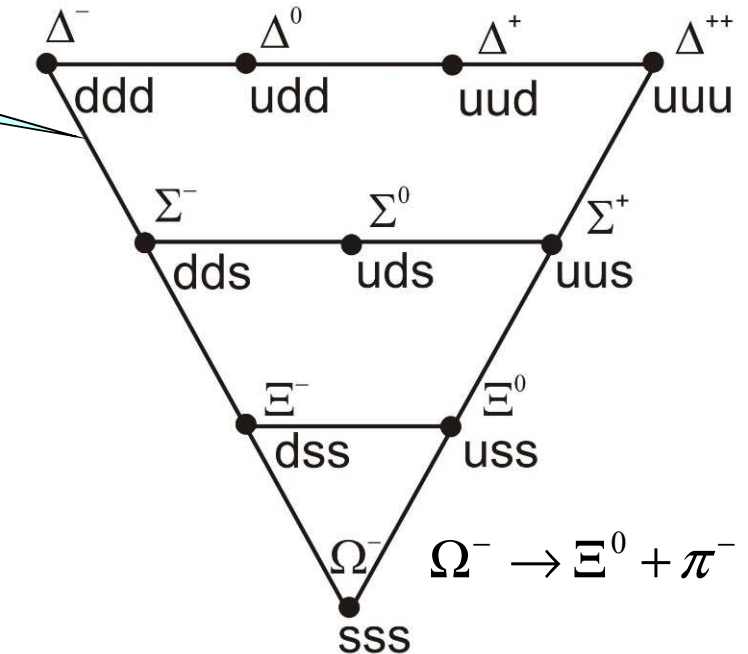
Podivnost je další vlastnost resp. kvantové číslo, které některé částice mají. V kvarkovém modelu je spojeno s kvarkem  $s$ .

Stránky pro experty! Můžete je přeskočit, ale co to zkusit!

**Mezonový oktet**  
tvoří částice se spinem 0.



**Baryonový dekuplet,**  
spin 3/2.



Jak jsme již řekli, uspořádání do těchto společenství, resp. poskládání hadronů z kvarků, je popsatelné pomocí teorie grup - reprezentace grupy  $SU(3)$  nabízejí oktety a singlet. Právě proto je grupa  $SU(3)$  vhodná pro popis osmičlenných společenství částic. Předpovídá ale i další multiplety, např. baryonový dekuplet. Symetrie neplatí úplně přesně, mezi hmotnostmi v oktetech jsou malé rozdíly.

Tato částice s podivností 3 byla předpovězena a pak teprve objevena v roce 1964 v Brookhavenu, což znamenalo potvrzení kvarkového modelu.

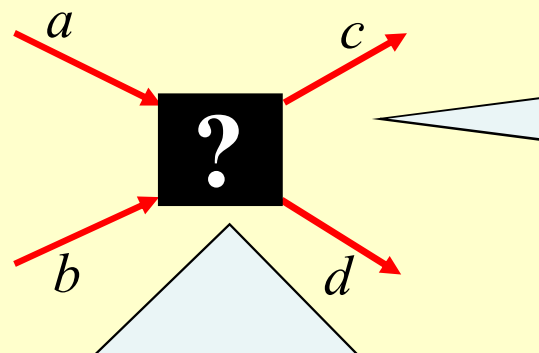
Kvarkový model, tj. „skládačka“ hadronů s podtextem grupy symetrie  $SU(3)$  se postupně rozvinul do dynamické teorie silných interakcí - kvantové chromodynamiky, o které se ještě zmíníme dále.

# Feynmanovy diagramy

Na předcházejících stránkách jsme už napsali, že existují čtyři základní interakce, které jsou zprostředkovány výměnou částic, tzv. nosičů. Nijak moc jsme to nevysvětlili. Nevysvětlíme to ani teď, neboť standardní cesta k pořádnému pochopení těchto témat vede přes kvantovou mechaniku ke kvantové teorii pole a specifickým teoriím pro jednotlivé interakce. Zájemci, kteří tato téma studují, se do obrazu dostávají zpravidla ke konci vysokoškolského studia. Nic nám ale nebrání jednoduše komentovat, o co jde a jak se obvykle postupuje.

Interakce  $a + b \rightarrow c + d$  probíhá tak, že do interakční oblasti vlétají částice  $a, b$  a vylétají z ní částice  $c, d$ . To, co se děje v interakční oblasti v rozměrech rádu  $10^{-15}$  m, je našemu bezprostřednímu pozorování nedostupné a proto interakční oblast znázorníme černou skříňkou.

Částice  $a, b$  vstupující do interakce známe, museli jsme je například urychlit v urychlovači nebo připravit v podobě terče.



Vylétavající částice „vidíme“ a měříme prostřednictvím detektorů.

Co se děje při vlastní srážce nemůžeme vidět, ale hledáme teorie, které nějak popíší a vysvětlí přechod od počátečního stavu  $(a, b)$  ke koncovému  $(c, d)$ .

## Feynmanovy diagramy

Když pořádně nevíme, co se v interakční oblasti děje, můžeme (a musíme) se spokojit s předpovědí toho, co bude výsledkem, tj. jaké částice z interakce vyletí a jaké budou jejich hybnosti. V kvantovém světě to nebudou striktní výpovědi, ale pravděpodobnosti. S tím ale už dávno umíme pracovat, pro srovnání předpověď teorie a výsledků experimentu používáme účinné průřezy.

Jakékoli výpočty v kvantové teorii pole jsou technicky velmi náročné. Ale i většina jiných vzrušujících lidských výtvorů dá spoustu práce. Například vytvořit realistickou sochu jistě není vůbec triviální. Sochař asi nejdřív uplácá cosi, co připomíná postavu a pak upřesňuje podobu, výraz, detaily. Rečeno fyzikální hantýrkou, postupuje **poruchově**. Nejdřív je tu **první approximace**, hrubá představa. Pak **první oprava**, korekce, upřesnění (např. dáma, pán). Pak další a další korekce, opravy, „**členy poruchové řady**“. Snazší je situace, kdy několik málo oprav stačí k uspokojivému výsledku („**poruchová řada rychle konverguje**“), může se ale také stát, že ani nekonečné opravy nedávají hotové dílo („**poruchová řada nekonverguje**“).

Výpočty v kvantové teorii pole dramaticky ovlivnil Richard Feynman, který navrhl grafickou řeč ke znázorňování jednotlivých členů poruchového rozvoje - **Feynmanovy diagramy**. Jednotlivé členy reprezentují příspěvky při výpočtu pravděpodobnosti interakce.

## Stránky pro experty! Můžete je přeskočit, ale co to zkusit!

Jednoduchým příkladem **poruchové řady** je Taylorův rozvoj, kterým můžeme rozvinout například funkci sinus v okolí 0 do nekonečné řady:

$$\sin x = x - \frac{x^3}{3!} + \frac{x^5}{5!} - \frac{x^7}{7!} + \frac{x^9}{9!} - \frac{x^{11}}{11!} + \dots$$

1. přiblížení

1. oprava

...

Vidíme, že 1. přiblížení je dobré pro velmi malé hodnoty x.

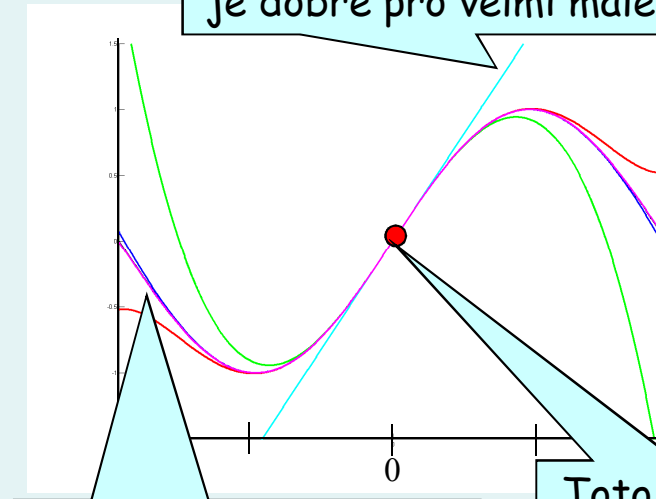
Pro představu si dosad'me za  $x 60^\circ$  do prvních pěti členů rozvoje:

$$\sin 60^\circ = \sin \pi / 3 \approx \sin 1,047198 \approx$$

$$\begin{aligned} &\approx 1,047\ 198 \\ &- 0,191\ 397 \\ &+ 0,010\ 495 \\ &- 0,000\ 274 \\ &+ 0,000\ 004 \end{aligned}$$

5. přiblížení máme s přesností  $10^{-6}$ .

3. přiblížení je už velmi dobré s přesností 1%.



5. přiblížení je velmi přesné na  $(-\pi, \pi)$

Toto je bod, v jehož okolí sinus rozvíjíme.

Podobně můžeme napsat několik dalších rozvojů:

$$\cos x = 1 - \frac{x^2}{2!} + \frac{x^4}{4!} - \frac{x^6}{6!} + \dots \quad e^x = 1 + \frac{x}{1!} + \frac{x^2}{2!} + \frac{x^3}{3!} + \dots$$

$$\operatorname{tg} x = x + \frac{x^3}{3} + \frac{2x^5}{15} + \frac{17x^7}{315} + \dots$$

logaritmus i odmocninu rozvineme v okolí 1:

$$\ln(1+x) = \frac{x}{1} - \frac{x^2}{2} + \frac{x^3}{3} - \frac{x^4}{4} + \dots$$

$$\sqrt{1+x} = 1 + \frac{x}{2} - \frac{x^2}{8} + \frac{x^3}{16} - \frac{5x^4}{128} + \dots$$

Odvážní a poučení si spočítají rozvoj pro libovolnou funkci v bodě  $x_0$ :

$$f(x) = f(x_0) + f'(x_0)(x-x_0) + \frac{f''(x_0)}{2!}(x-x_0)^2 + \frac{f'''(x_0)}{3!}(x-x_0)^3 + \dots$$

## Stránky pro experty! Můžete je přeskočit, ale co to zkusit!

Řešení poruchovou metodou si můžeme zkusit i na velmi jednoduchém příkládku: Jakou energii má foton vyzářený při přechodu mezi dvěma stavů jadra ( $A=60$ ) s rozdílem energií  $\Delta E=2$  MeV?

No to je přece jasné:  $E_\gamma = \Delta E = 2$  MeV! To je jistě dobrá approximace, ale foton má přece hybnost, hybnost se zachovává, jádro se odrazí na druhou stranu a na to spotřebuje kousínek energie. Pojd'me spočítat opravu k našemu prvnímu přiblížení. Když foton odnáší energii  $E_\gamma = \Delta E$ , pak také nese hybnost  $p_\gamma = E_\gamma/c = \Delta E/c$ .

Tuto hybnost odnáší také jádro  $p_j = p_\gamma$  a jeho kinetická energie je:

Díky tomu foton neodnese celou  $\Delta E$ , ale jen

$$E_{\gamma,2} = \Delta E - \frac{E_{\gamma,1}^2}{2M_j c^2} = 2 \text{ MeV} - \frac{2^2}{2 \cdot 60 \cdot 10^3} \text{ MeV} = 2 \text{ MeV} - 0,000\,03 \text{ MeV}.$$

Je vidět, že oprava je opravdu malá, „první přiblížení“ nebylo vůbec špatné.

Standardní školní přístup je samozřejmě trochu jiný. Ideální student (chachacha) si situaci pořádně rozmyslí a hned vezme v úvahu všechny potřebné efekty. Napíše správně zákon zachování hybnosti a energie a příslušnou sadu rovnic hbitě vyřeší.

$$p_j = p_\gamma = E_\gamma/c$$

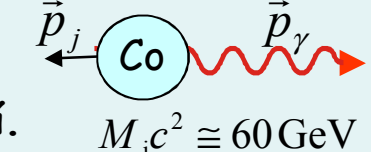
$$\Delta E = E_\gamma + E_j = E_\gamma + \frac{p_j^2}{2M_j} = E_\gamma + \frac{E_\gamma^2}{2M_j c^2}$$



$$E_\gamma = M_j c^2 \left( -1 \pm \sqrt{1 + \frac{2 \Delta E}{M_j c^2}} \right)$$

Dosadí otrocky do obecného výsledku zadané hodnoty, vybere si kladné řešení a dostane správný výsledek  $E_\gamma = 1,999\,97$  MeV. My raději rozvineme obecný výsledek podle vzorečku pro odmocninu na předcházejícím snímku a vidíme, že dostáváme opět první přiblížení, malou první korekci a další korekce, které je už zbytečné počítat.

$$E_\gamma \cong M_j c^2 \left[ -1 \oplus \left( 1 + \frac{\Delta E}{M_j c^2} - \frac{\Delta E^2}{2M_j^2 c^4} + \dots \right) \right] = \Delta E - \frac{\Delta E}{2M_j c^2} + \dots$$

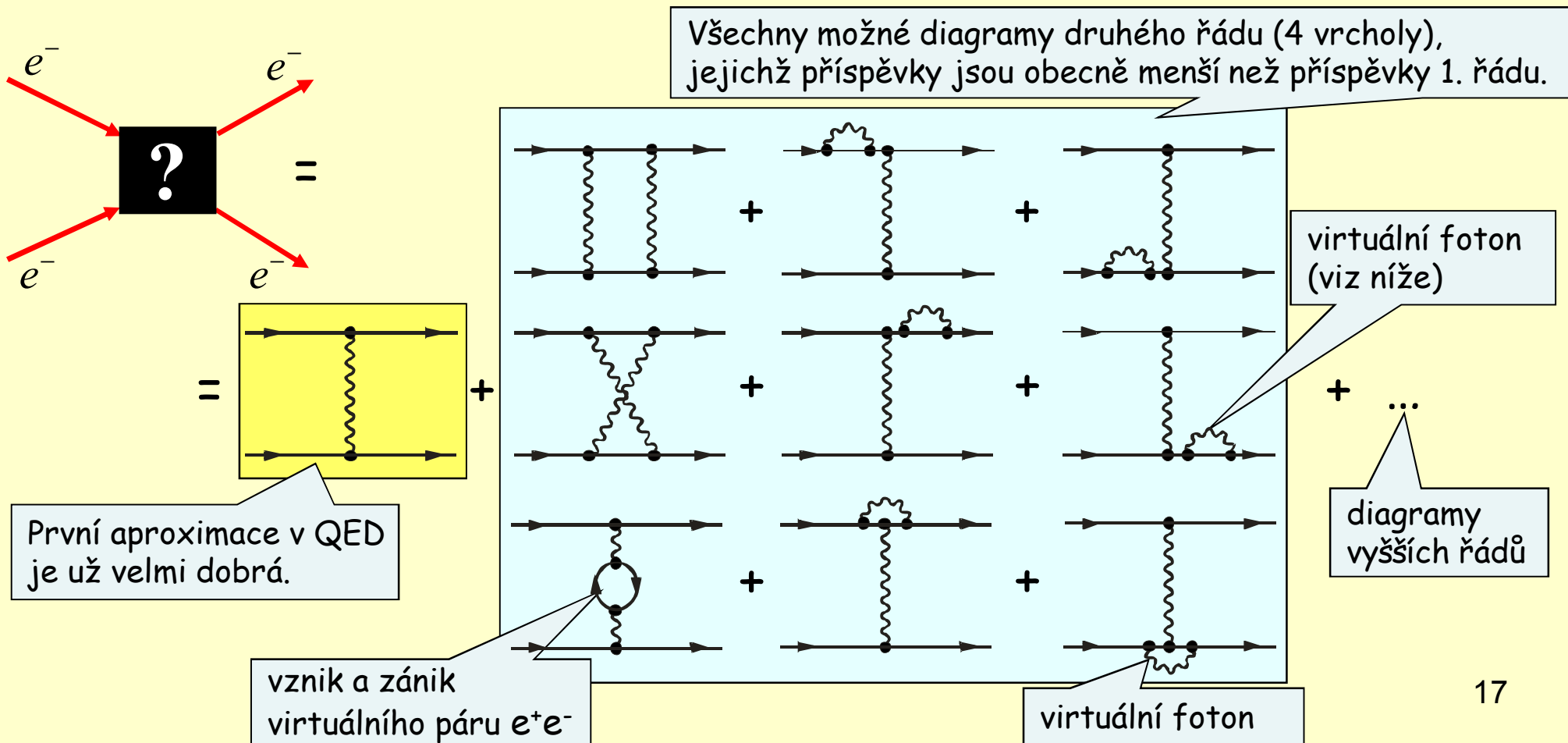


zanedbatelné vůči 1. členu

# Feynmanovy diagramy - elektromagnetická interakce

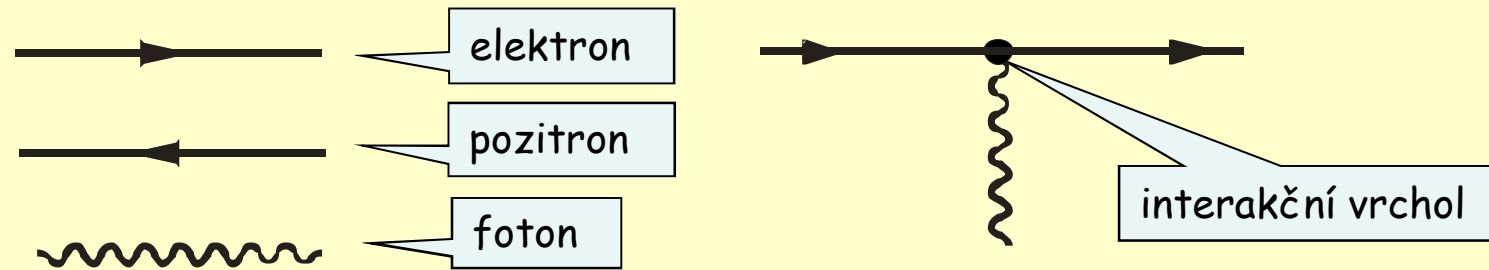
Příkladem interakce, která dovoluje poruchový přístup a na které se celá tato technika ve čtyřicátých letech minulého století zrodila, jsou elektromagnetické interakce. Jejich teorii se říká kvantová elektrodynamika (QED).

Nejjednodušším příkladem děje, který musí kvantová elektrodynamika popsat, je interakce dvou elektronů. Podívejme se tedy na Feynmanovy diagramy, které vyplňují černou skřínu, do které dva elektrony vstupují a dva vystupují:

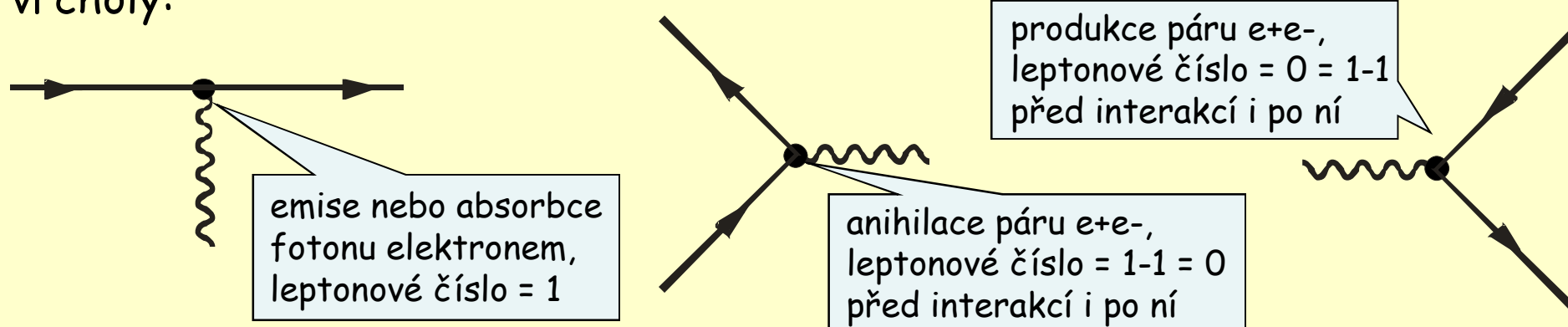


# Feynmanovy diagramy - elektromagnetická interakce

Vidíme, že „konstrukční prvky“ Feynmanových diagramů jsou:



Feynmanovy diagramy se skládají z vnějších čar reprezentujících částice vstupující do interakce a vystupující z ní, vrcholů a případně dalších vnitřních čar spojujících vrcholy. Všimněte si, že fotony - zprostředkující částice - se rodí a zanikají na rozdíl od elektronů, které se zachovávají, přesněji: zachovává se počet elektronů-počet pozitronů = leptonové číslo. Ve vrcholech se zachovává i energie a hybnost. Podívejte, co všechno mohou popisovat vrcholy:

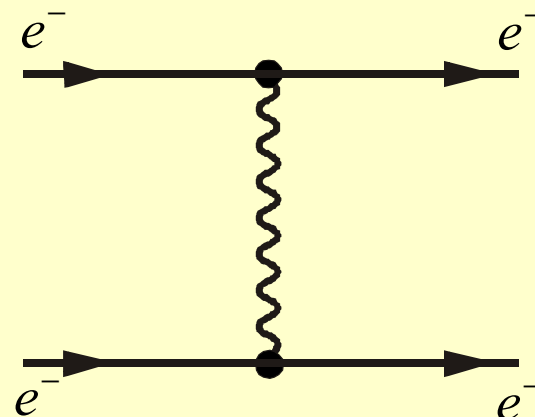


Tyto diagramy neodpovídají žádným reálným dějům, jak jsme viděli při diskusi anihilace v kapitole o experimentování na str. 42, nelze totiž splnit zákon zachování hybnosti a energie

# Feynmanovy diagramy – pružný rozptyl elektronů

Elektronové čáry jsou spojené fotonovou čárou, proto říkáme, že si **elektrony vyměňují foton**.

Jinak řečeno, jeden elektron vyzáří foton a druhý ho absorbuje, čímž se oba elektrony rozptýlí.



Oblíbenou a často používanou analogií výměny částice mezi dvěma objekty, která zprostředkovává interakci – předává hybnost a energii, je házení míče mezi dvěma chlapíky – hybnost udělená míči jedním je předána druhému (jestliže míč chytí nebo je jím trefen). Tak se díky přehazování míče chlapíci odpuzují.

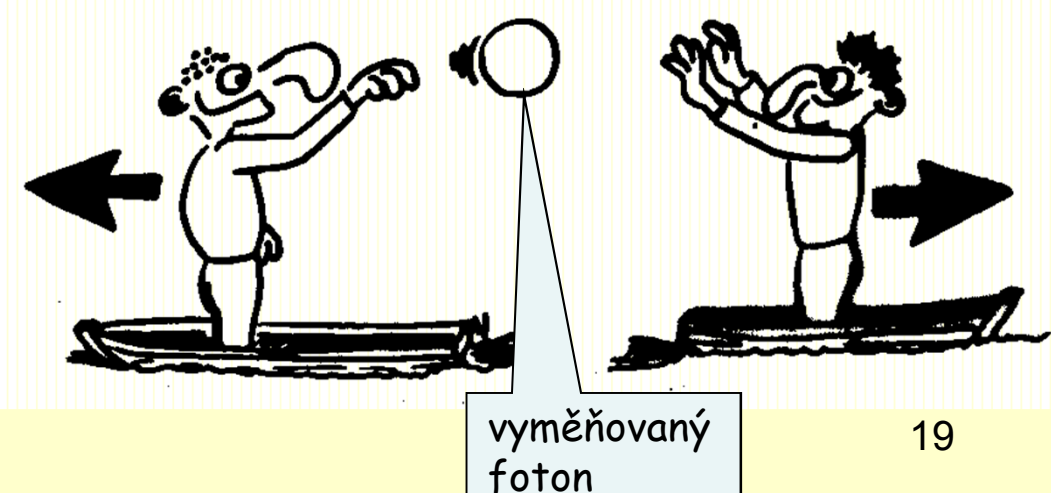
Na vysvětlení přitažlivé síly je ovšem tato analogie krátká.

Částicím, které odpovídají vnitřním čarám, říkáme **virtuální částice**. Zde máme virtuální foton.

Virtuální částice žijí v černé krabičce a tedy nejsou vidět.

Řada diagramů na straně 17 ukazuje, že virtuálních částic může přispívat různý počet.

Virtuální částice trochu připomínají postavy v našich představách či snech. Poznáme je, můžeme o nich diskutovat, ovlivňují náš život, nemusí mít však všechny vlastnosti úplně reálné. Existují nebo neexistují? Do výpočtů kvantové teorie pole virtuální částice bezpochyby patří.



Stránky pro experty! Můžete je přeskočit, ale co to zkusit!

## Počítání s Feynmanovými diagramy (Zde se opravdu, ale opravdu nelekejte!)

Na předchozích stránkách jsme viděli, že konkrétní Feynmanův diagram odpovídá určitému řádu poruchového rozvoje. Každý diagram představuje dílčí příspěvek k „elementu S-matice“. Úplná S-matice je formálně součtem všech relevantních diagramů. Kvadrát absolutní hodnoty elementu S-matice vyjadřuje pravděpodobnost, že uvažovaný proces proběhne a lze z ní poměrně jednoduše vyjádřit nám již dobře známý účinný průřez.

Jen pro ilustraci se podívejte, jak vypadá S-matice 1. řádu pro rozptyl dvou elektronů. Ještě se musíme přiznat k další komplikaci - kvůli nerozlišitelnosti elektronů musíme počítat ještě s diagramem, který má přehozené hybnosti.

$$\frac{d\sigma}{d\Omega} = \text{konst} \frac{|S|^2}{(E_1 + E_2)^2}$$

pravděpodobnost rozptylu

kvadrát energie elektronů

integrace přes všechny hybnosti

člen odpovídající virtuálnímu fotonu

Každému vrcholu odpovídá vazbová konstanta

$$g = \sqrt{\frac{e^2}{\epsilon_0 \hbar c}} \approx 0,3$$

$$S = \int \frac{d^4 k}{(2\pi)^4} \frac{-ig_{\mu\nu}}{k^\alpha k_\alpha + i\epsilon}$$

člen odpovídající elektronové čáře  $p_1 - p_3$

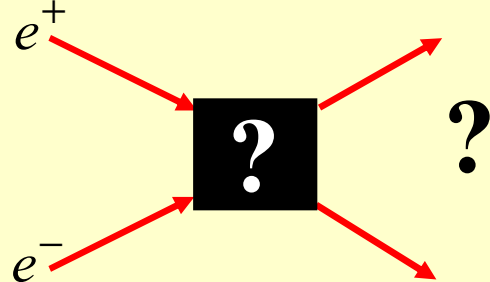
člen odpovídající elektronové čáře  $p_2 - p_4$

$$\begin{aligned} & \left\{ \bar{u}(p_3, s_3)(-ig)(2\pi)^4 \delta^4(p_1 - p_3 - k) \gamma^\mu u(p_1, s_1) \cdot \bar{u}(p_4, s_4)(-ig)(2\pi)^4 \delta^4(p_2 - p'_4 + k) \gamma^\nu u(p_2, s_2) - \right. \\ & \left. - \bar{u}(p_4, s_4)(-ig)(2\pi)^4 \delta^4(p_1 - p'_2 - k) \gamma^\mu u(p_1, s_1) \cdot \bar{u}(p_3, s_3)(-ig)(2\pi)^4 \delta^4(p_2 - p'_1 + k) \gamma^\nu u(p_2, s_2) \right\} \end{aligned}$$

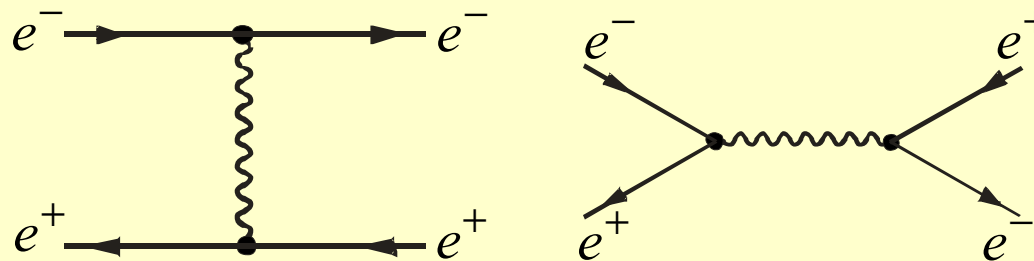
první řádka odpovídá prvnímu grafu, druhá druhému

# Feynmanovy diagramy - elektromagnetická interakce

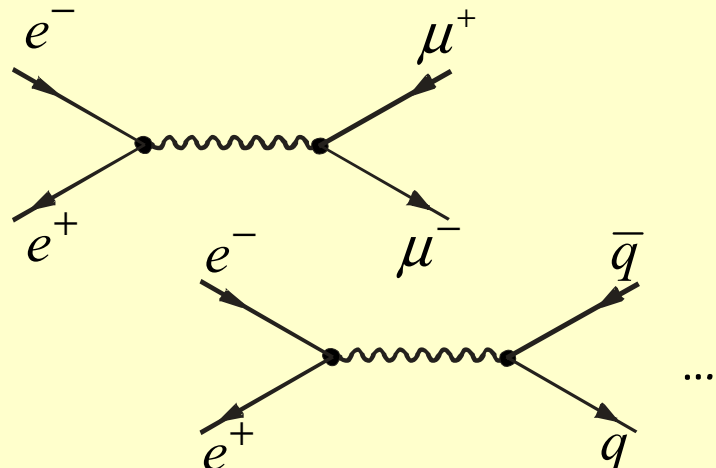
Dalším příkladem elektromagnetické interakce je srážka elektronu a pozitronu. Jaký může být koncový stav této interakce?



- 1) V koncovém stavu může být zase jeden elektron a jeden pozitron, navenek je to pružný rozptyl

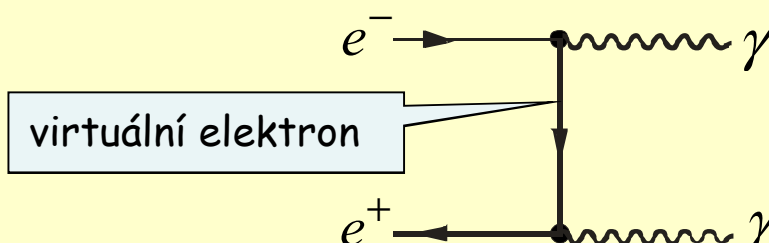


- 2) V koncovém stavu může být pár lepton-antilepton i jiný než  $e^+e^-$ , pár kvark-antikvark, ... Musíme ale na to mít dostatek energie.



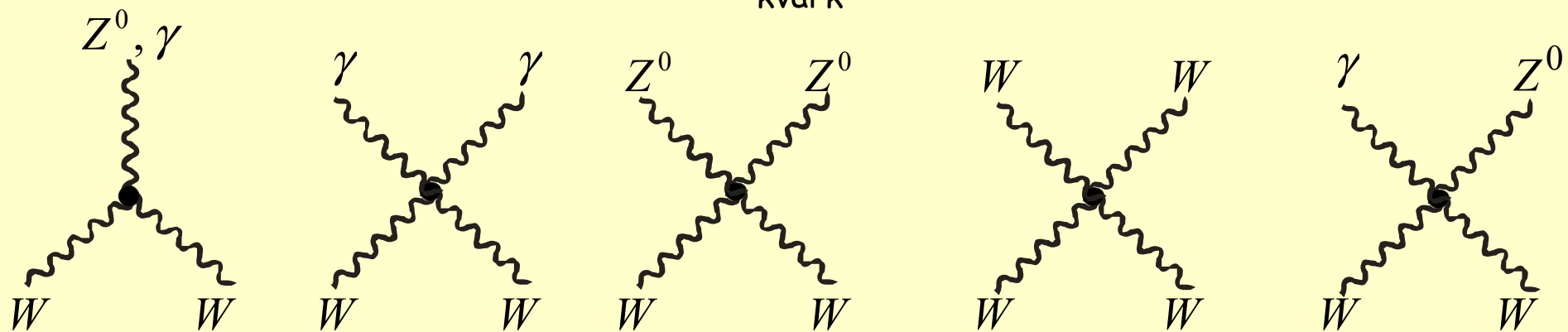
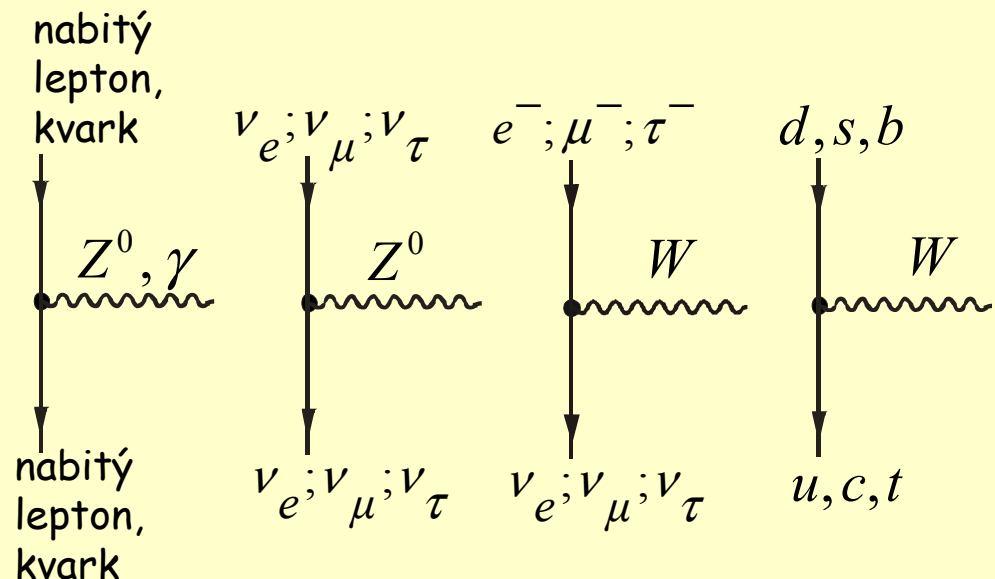
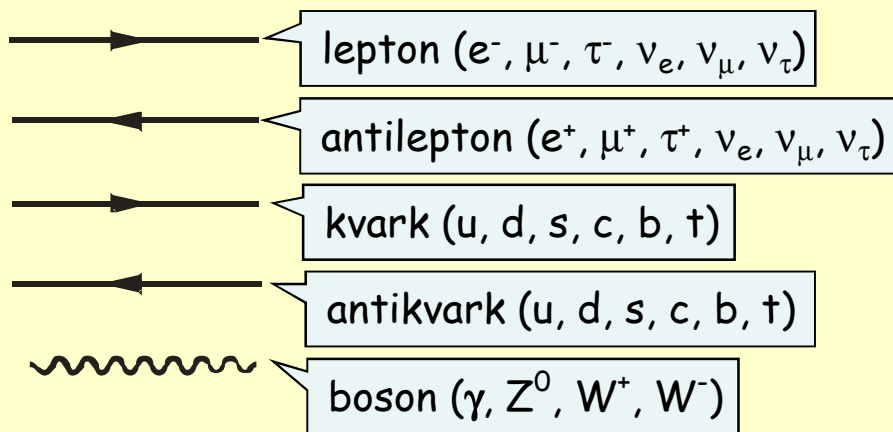
Anihilací elektronu a pozitronu vzniká virtuální foton, a z něho opět elektron a pozitron. Částice stejného druhu jsou nerozlišitelné a tak nikdo nepozná, že to nejsou původní elektron a pozitron.

- 3) Výsledkem může být anihilace elektronu a pozitronu na dva fotony:



# Feynmanovy diagramy - elektroslabá interakce

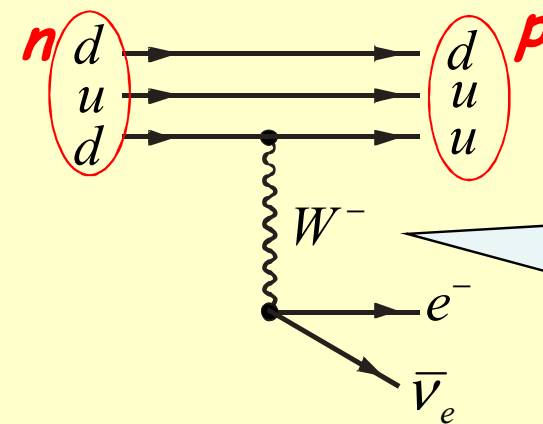
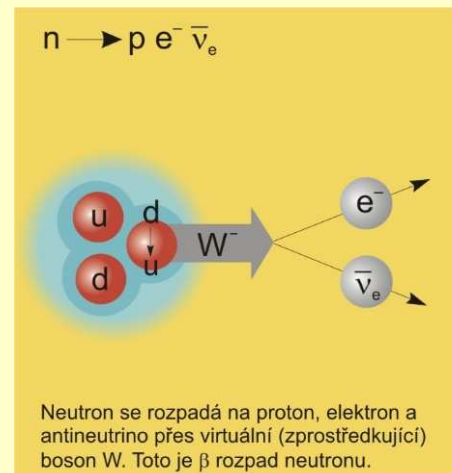
V teorii slabých (přesněji elektroslabých) interakcí hrají roli zprostředkujících částic  $\gamma$ ,  $Z^0$ ,  $W^+$ ,  $W^-$ . Podívejme se na „konstrukční prvky“ Feynmanových diagramů pro elektroslabou interakci:



Znaménka bosonů  $W^+$  a  $W^-$  jsou taková, aby se ve vrcholech zachoval elektrický náboj.

# Feynmanovy diagramy - elektroslabá interakce

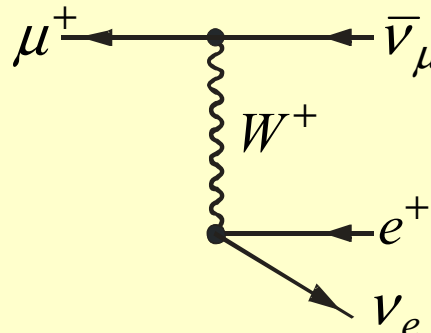
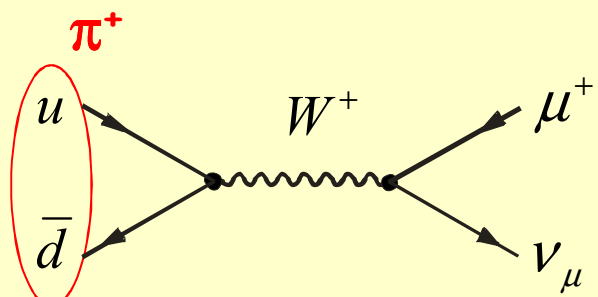
Pro ilustraci je na obrázku znázorněn příklad slabé interakce - rozpad neutronu.



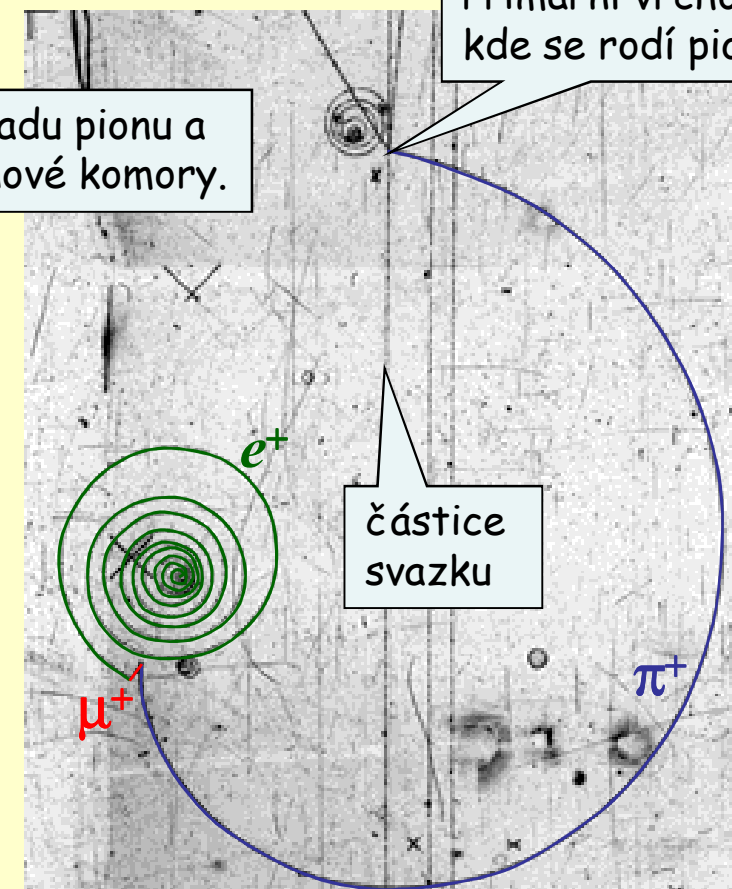
Neutron se rozpadá emisí  $W^-$ , který vytvoří elektron a neutrino.

Další příklad slabé interakce:

$$\begin{aligned} \pi^+ &\rightarrow \mu^+ + \nu_\mu \\ &\downarrow \\ &e^+ + \nu_e + \bar{\nu}_\mu \\ &\downarrow \\ &+ \rightarrow \gamma + \gamma \\ &e^- \text{ (z prostředí)} \end{aligned}$$



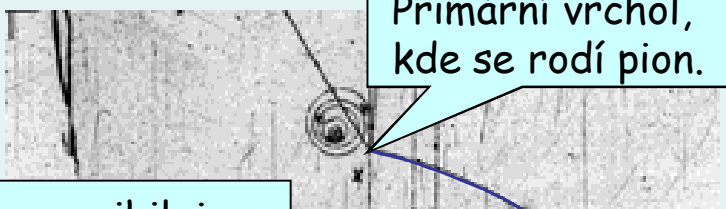
Obrázek rozpadu pionu a mionu z bublinové komory.



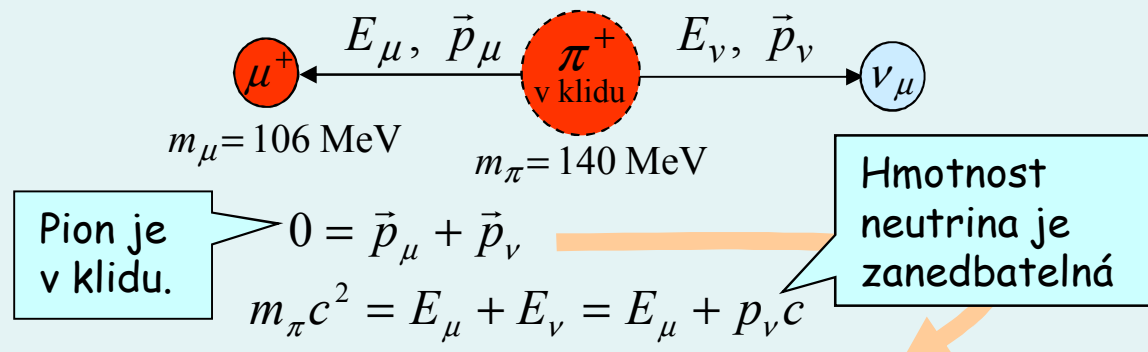
Primární vrchol, kde se rodí pion.

## Stránky pro experty! Můžete je přeskočit, ale co to zkusit!

Podívejme se podrobněji na rozpad pionu na snímku z bublinové komory. Komora je umístěna v magnetickém poli, proto jsou dráhy nabitéch částic zakřivené (částice ve svazku mají velkou energii, proto není zakřivení patrné).



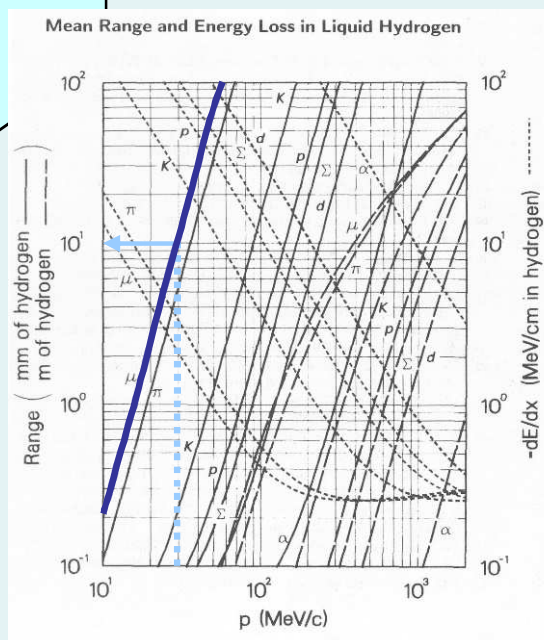
Pozitron anihiluje s elektronem z prostředí - vznikají dva fotony.



$$p_\nu = p_\mu$$

$$m_\pi c^2 = \sqrt{m_\mu^2 c^4 + p_\mu^2 c^2} + p_\mu c$$

$$p_\mu c = \frac{m_\pi^2 c^4 - m_\mu^2 c^4}{2 m_\pi c^2} \cong 30 \text{ MeV}$$



Mion i neutrino vylétvají z rozpadu s hybností 30 MeV.

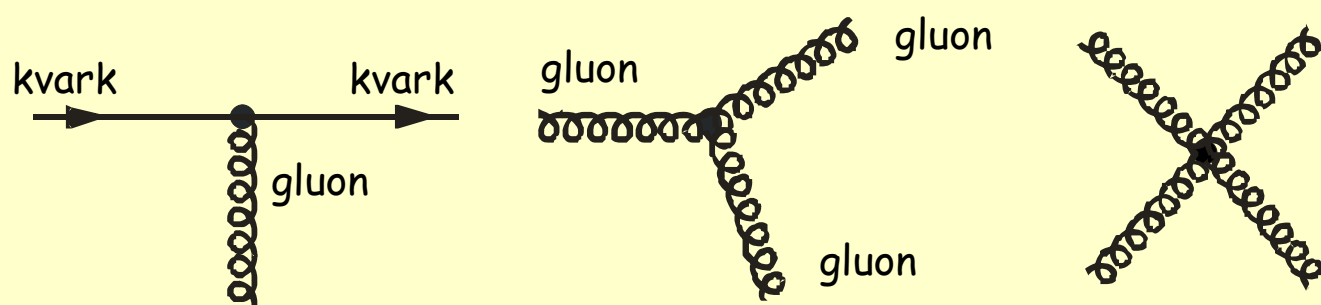
Z grafu doletu můžeme odhadnout, že mion s touto hybností urazí ve vodíkové komoře dráhu přibližně jen jeden milimetr.

# Feynmanovy diagramy - silná interakce

Interakci mezi kvarky zprostředkovává 8 druhů gluonů. Gluony jsou většinou „dvoubarevné“ - nosí jednu barvu a jednu antibarvu na rozdíl od fotonů, které nepřenáší žádný náboj, dva jsou ale komplikovaněji „zmalované“, neboť teorie silné interakce - kvantová chromodynamika (QCD) - je přece jen trochu komplikovanější než povídání o barvách.

Ve srovnání s předcházejícími teoriami je počítání v QCD obtížnější: Poruchový přístup je použitelný jedině ve specifických podmínkách, speciálně v procesech, kde si kvarky vyměňují velkou hybnost. Tehdy můžeme pracovat opět s Feynmanovými diagramy:

Základní vrcholy QCD:

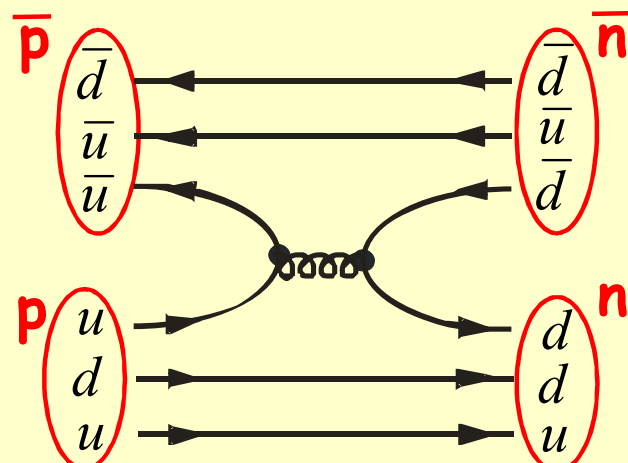


Takové problémy, jako například popis silná interakce nukleonů v jádrech a jaderných reakcích nebo vysvětlení struktury hadronů, poruchově zvládnutelné nejsou a jen pomalu se nacházejí a zdokonalují techniky, jak tyto problémy řešit.

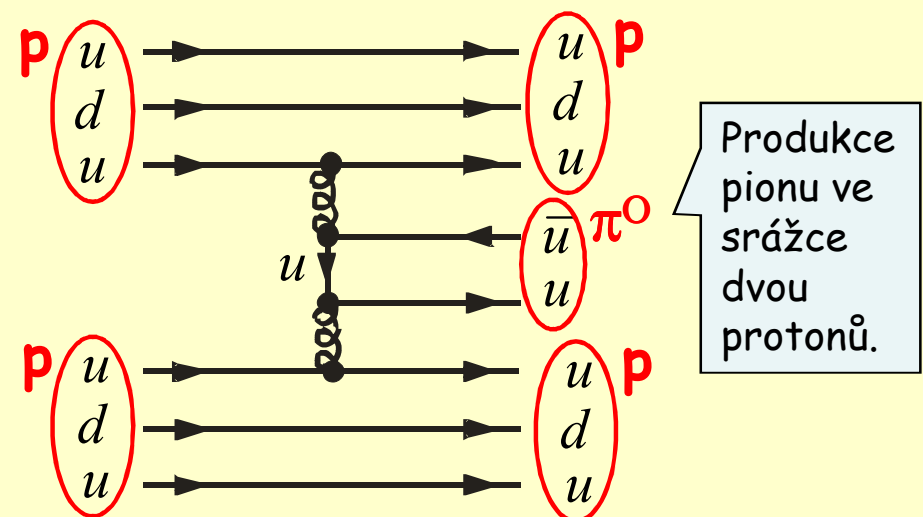
# Feynmanovy diagramy - silná interakce

Podstatné je to, že například proton není jen trojice kvarků, ale spíše komplikovaný slepenec kvarků, gluonů a virtuálních kvark-antikvarkových párů, kde všechno se vším interahuje. Následující ilustrační diagramy tak mají jednoduchou poruchovou část, ve které vystupují tři kvarky v protonu, a symbolické červené oválky pro hadrony, jejichž nitru neúplně rozumíme.

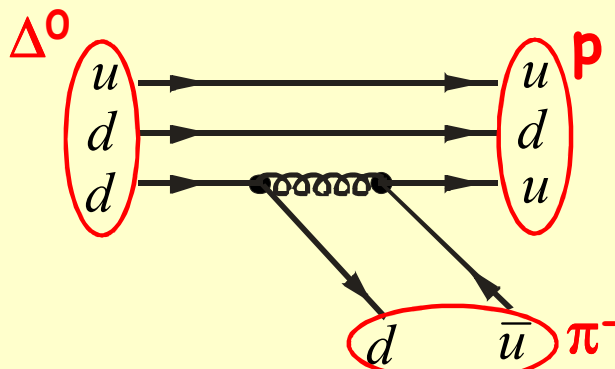
$$p + \bar{p} \rightarrow n + \bar{n}$$



$$p + p \rightarrow p + p + \pi^0$$



$$\Delta^0 \rightarrow p + \pi^-$$



# Jedna srážka protonů na LHC

